

LENA, La Pitié Salpêtrière

22 mars 2005

Fouille de Données MEG et Optimisation multi-critères

Michèle Sebag

IA – TAO, CNRS – INRIA

Université Paris-Sud Orsay, <http://tao.lri.fr>

Travail joint : Nicolas Tarrisson, Olivier Teytaud,
Sylvain Baillet, Julien Lefevre.

Contexte

Neuro-imagerie

- Des sujets, une expérience, des mesures

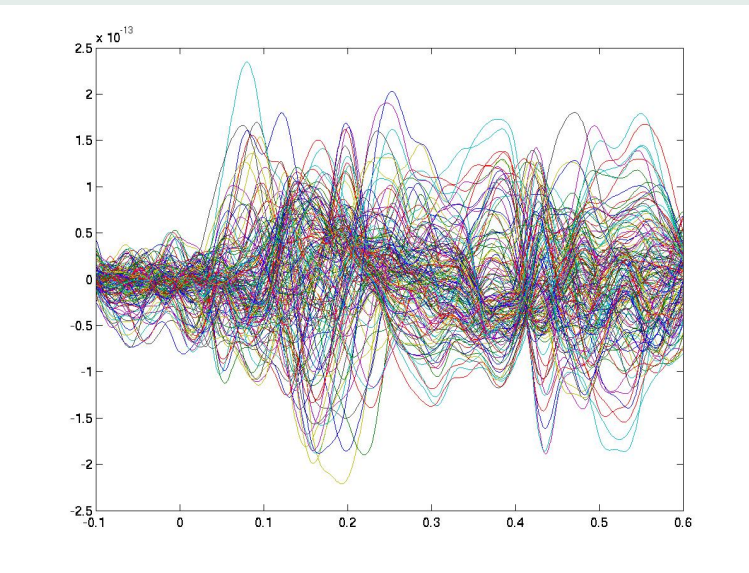


- Une nouvelle technologie : électro-magnéto-encéphalographie.
pas de temps: .001 seconde

Plan

- Le problème posé
- Fouille de données
- Optimisation multi-critères
 - .. multi-modale
- 4dMiner
- Discussion

Les données



Structure spatio-temporelle

- Capteurs $i = 1..N$
- $i \rightarrow \begin{cases} M_i = (x_i, y_i, z_i) \in \mathbb{R}^3 \\ \{C_i[t], t = 1..T\} \in \mathbb{R}^T \end{cases}$

Le but

Trouver des motifs spatio-temporels

- Une aire spatiale A : Boule \mathcal{B} (centre i_0 , rayon r)
- Un intervalle temporel $I \subset \{1..T\}$
caractérisant

$$\mathcal{V}(A, I) = \{C_k[t], k \in A, t \in I\}$$

TELS QUE

- A large
- I large
- Variance ($\mathcal{V}(A, T)$) faible

Etat de l'art

Procédure courante

- manuelle → i) ennuyeux; ii) subjectif
- peu de volontaires.

Analyse en composantes indépendantes

- Identifier les sources i) pb inverse, ii) hyp. sur la nature des sources
- Identifier les périodes de stabilité des sources.

Champs conditionnels de Markov

- Idem, dans un espace différent.

Fouille de Données

Mot d'ordre

- à partir de données *et de connaissances*
- fournir à l'expert des régularités utiles, nouvelles, valides

Contexte

L'idéal le siècle des connaissances

La réalité des expertises spécialisées

Le besoin la gestion humaine des connaissances
ne passe pas à l'échelle

L'opportunité les données sont accessibles

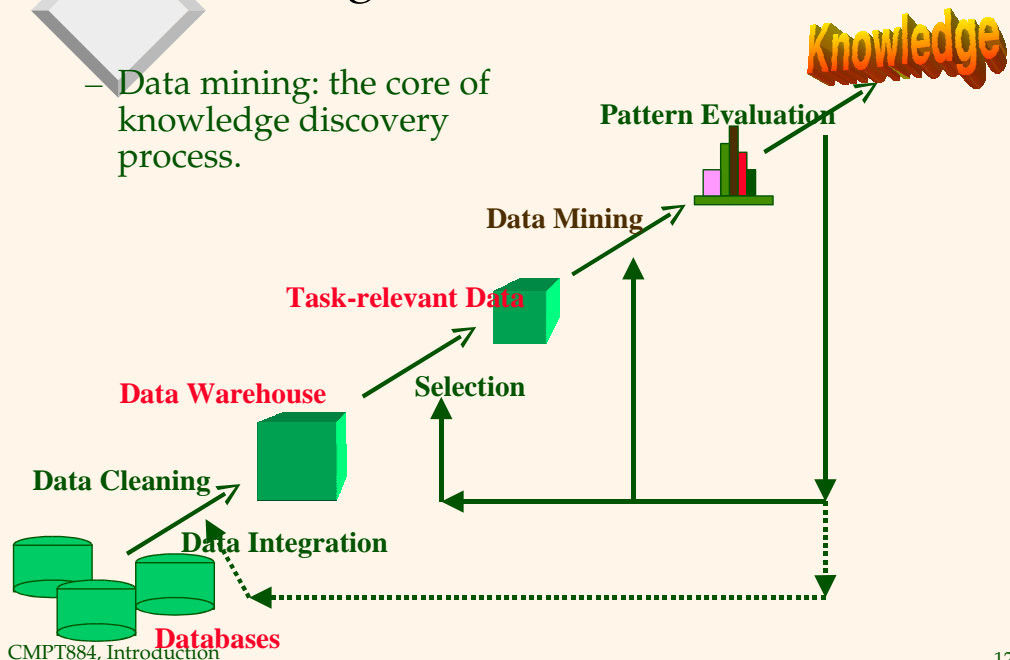
Domaines d'application

Domaine	But : Modélisation
Phénomènes physiques Applications industrielles, sciences expérimentales, calcul numérique	modélisation et contrôle de process
Phénomènes sociaux Hôpitaux, Assurances, Banques, ...	+ confidentialité
Phénomènes individuels <i>Consumer Relationship Management</i> <i>User Modelling</i>	+ dynamique rapide

NoE PASCAL : <http://www.pascal-network.org>

Data Mining: A KDD Process

- Data mining: the core of knowledge discovery process.



Fouille de Données, Résumé

Une définition...

Fayyad et al. 1996

Automatic extraction of
novel, useful and valid knowledge
from large sets of data.

...faisant une large part à l'implicite...

des connaissances { nouvelles % au sens commun
 utiles pour qui
 valides un pb multi-critères

Un cahier des charges :

- Idéalement, un système adaptatif
- Doit passer à l'échelle

Fouille de MEG : une approche algorithmique

Propriétés voulues

- Passage à l'échelle
- Flexible \Rightarrow Paramétrable \Rightarrow Doit être calibré

\Rightarrow Contrôle des ressources possible - Algorithme anytime

<http://anytime.cs.umass.edu/~shlomo/>

Discussion

- critères monotones (en r , en I)
- critères antagonistes ($I \nearrow, r_A \searrow$)
- exhaustivité ? Non : le résultat doit être vu par un humain.

Optimisation multi-critères

Optimisation classique

Trouver $\text{ArgMax}\{\mathcal{F}(x), \mathcal{F} : \Omega \rightarrow \mathbb{R}\}$

Optimisation multi-critères

Trouver $\text{ArgMax}\{\mathcal{F}_i, i = 1, 2..., \mathcal{F}_i : \Omega \rightarrow \mathbb{R}\}$

Evidemment, \mathcal{F}_i antagonistes.

De qualité maximale, de prix minimal...

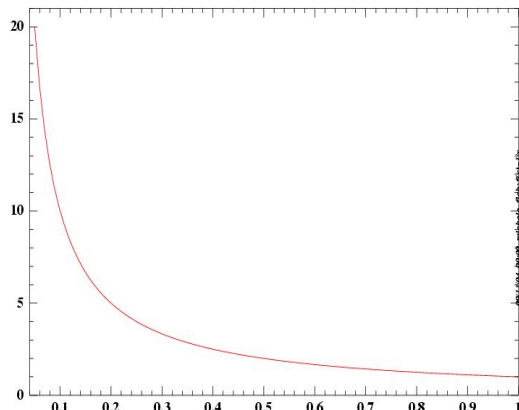
Front de Pareto

Domination de Pareto

- $x < y$ ssi $\mathcal{F}_i(x) \leq \mathcal{F}_i(y)$ et inégalité stricte pour au moins un i .

Front de Pareto

- Ensemble des solutions non dominées.



Stable Spatio-Temporal Patterns

Espace de recherche

$$X = \begin{cases} I & \text{intervalle temporel} \\ i & \text{centre de la boule spatiale} \\ r & \text{rayon de la boule spatiale} \\ d_w = (a, b, c) & \text{distance pondérée} \end{cases}$$

avec

$$d_w(j, k) = a.(x_j - x_k)^2 + b.(y_j - y_k)^2 + c(z_j - z_k)^2 \quad \text{régions ellipsoidales}$$

Objectifs d'optimisation

$$X = (I = [deb, fin], i \text{ centre}, d_w = (a, b, c), r)$$

Définition

I -alignement de deux capteurs j et k sur l'intervalle temporel I :

$$\sigma_I(j, k) = \langle j, k \rangle_I \times \left(1 - \frac{|\bar{C}_j^I - \bar{C}_k^I|}{|\bar{C}_j^I|}\right)$$

avec

$$\langle j, k \rangle_I = \frac{\sum_{t=t_1}^{t_2} C_j(t) \cdot C_k(t)}{\sqrt{\sum_{t=t_1}^{t_2} C_j(t)^2 \times \sum_{t=t_1}^{t_2} C_k(t)^2}}$$

$$\bar{C}_j^I = \text{Moyenne } \{C_j[t], t \in I\}$$

Objectifs d'optimisation, II

$$X = (I = [deb, fin], i \text{ centre}, d_w = (a, b, c), r)$$

Objectifs

- Longueur temporelle $\ell(X) = fin - deb$
- Le voisinage spatial $\mathcal{V}(X) = \{j \mid d_w(i, j) < r\}$
- La taille $|X| = \ell(X) \cdot |\mathcal{V}(X)|$
- La cohérence spatio-temporelle

$$\sigma(X) = \frac{1}{a(X)} \sum_{j \in \mathcal{B}(i, w, r)} \sigma_I(i, j)$$

Algorithmes d'Evolution

$\mathcal{F} : \Omega \mapsto \mathbb{R}$; Trouver les optima de \mathcal{F}

Métaphore : L'évolution darwinienne des populations biologiques.

Les individus les plus adaptés survivent et se reproduisent

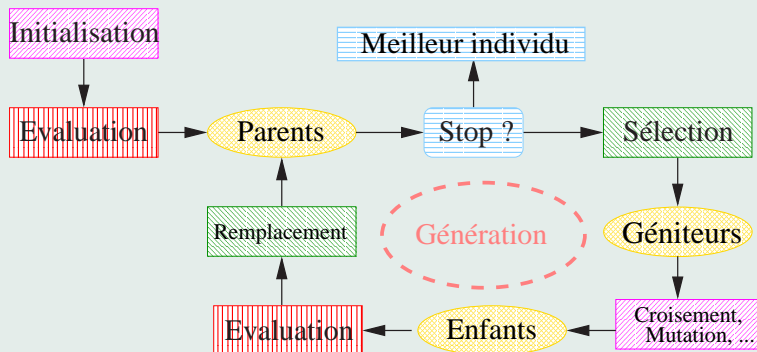
Vocabulaire :	Individu	Elément X de Ω
	Performance	Valeur de $\mathcal{F}(X)$
	Population	Ensemble de P éléments de Ω
	Génération	Passage de la population Π_i à Π_{i+1}

Processus :

- 1) Sous la pression du milieu,
- 2) Les individus se croisent, mutent et se reproduisent.
- 3) Au bout d'un nombre certain de générations, les individus les plus performants apparaissent dans la population.

≡ les **optima** de \mathcal{F} ...

Algorithmes d'évolution : Le Squelette



- [Pink Box] Opérateurs stochastiques: Dépendent de la représentation
- [Green Box] "Darwinisme" (stochastique ou déterministe)
- [Red Box] Coût calcul
- [Blue Box] Critère d'arrêt, statistiques, ...

EC Multi-critères

EC classique

- Initialisation
- Variations (croisement, mutation)
- Sélection

Trouver $\text{ArgMax}(\mathcal{F})$

Problème multi-critères

Trouver $X = \text{ArgMax}\{a(x), \ell(X), \sigma(X)\}$

Modifications essentielles

But : couvrir le front de Pareto

Archive

Sélection : d'après $\mathcal{F}'(X)$, où \mathcal{F}' mesure :

Le rang de Pareto de X dans la population courante

Le pourcentage de l'archive dominé par X

...

4d Miner

Components

- Several objectives a, ℓ, σ
- Evolutionary Computation on $\Omega =$
 $\{X = (i, w, I, r), i \in [1, N], w \in \mathbb{R}^3, I \subset [1, T], r \in \mathbb{R}\}$
 - Initialization sampling mechanism
 - Variation operators
 - Selection

Sampling mechanism $X = (i, w, I, r)$

- i : uniformly drawn in $[1, N]$;
- $w = (1, 1, 1)$ *initial = Euclidean*
- $I =$
 - deb : uniformly drawn in $[1, T]$
 - $\ell(I)$ drawn $\sim \mathcal{N}(min_\ell, min_\ell/10)$ *min_ℓ user supplied*
 - reject if $deb + \ell(I) > T$
- r : such that the ball contains all neighbors with bounded I -alignment:

$$r = \min_k \{d_w(i, k) \text{ s.t. } \sigma_{i,k}^I > \min_\sigma\}$$

- reject if $a(X) = |\mathcal{B}(i, r)| < \min_a$ *min_a user supplied*

Complexity: $\mathcal{O}(N \log N \times \min_\ell)$

Variation operators

Mutation $X = (i, w, I, r)$

- Self adaptive mutation of w, r
- Specific mutation operators for i and I .
- Random (initialisation operator)

Crossover $X = (i, w, I, r) \times Y = (i', w', I', r')$

- Restricted mating:

if the spatio-temporal areas are “close enough”

user-supplied

Selection : Pareto Archive

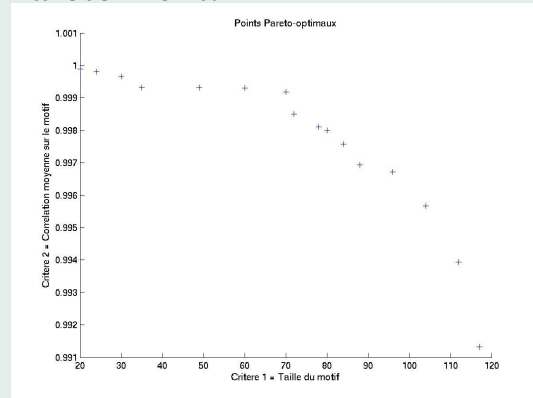
Steady state

- In each step, select an individual (tournament wrt Archive)
- Apply crossover or mutation
- Evaluate
- If non dominated in the population, store :
- Replace an individual (anti-selection)

First results: Failure

Diversity of st-patterns

- seems OK on the Pareto front:

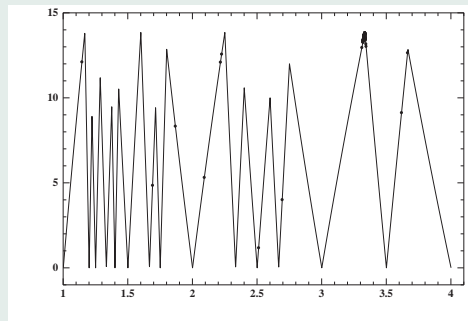


- but all patterns represent the same spatio-temporal region, with variations...

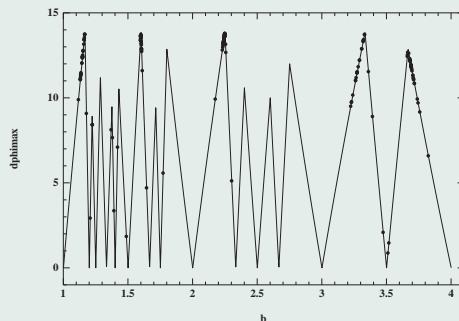
Multi-objective multi-modal optimization

Multi-modal optimization

Find all global *and possibly local* optima



W/o sharing



With sharing

Multi-objective multi-modal optimization

Sharing-Pareto dominance

$X = (i, I, w, r)$ sp-dominates $Y = (i', I', w', r')$ iff

- X Pareto dominates Y wrt a, ℓ, σ
- X and Y overlap $\mathcal{B}(i, w, r) \cap \mathcal{B}(i', w', r') \neq \emptyset$
 $I \cap I' \neq \emptyset$

Experimental validation

Goals of experiment

- Useful ?
- Scalable ?
- Performance / Recall ?

Datasets

- ACI Neurodyne
- Artificial datasets

Artificial datasets

Curves

$$N = 500, \dots, 4000$$

nb sensors

$$T = 1000, \dots, 8000$$

nb time steps

For $i = 1..N$

For $t = 1..T$

$$C_i(t) = C_i(t - 1) + \epsilon * \pm 1$$

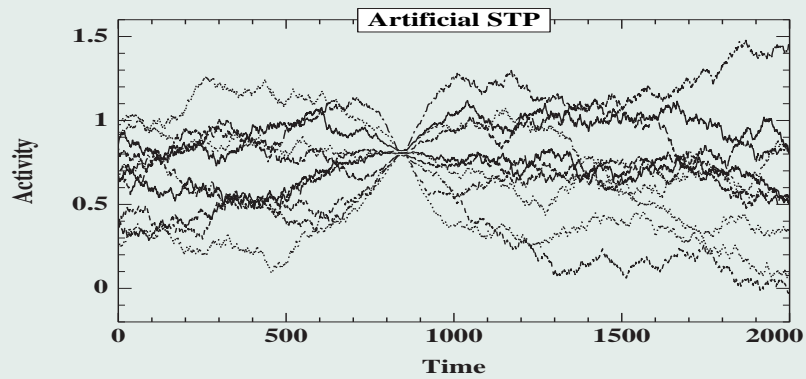
10 Target patterns

$$P = (i \text{ in } 1..N; I \subset [1, T]; w \in \mathbb{R}^3; r \in \mathbb{R}).$$

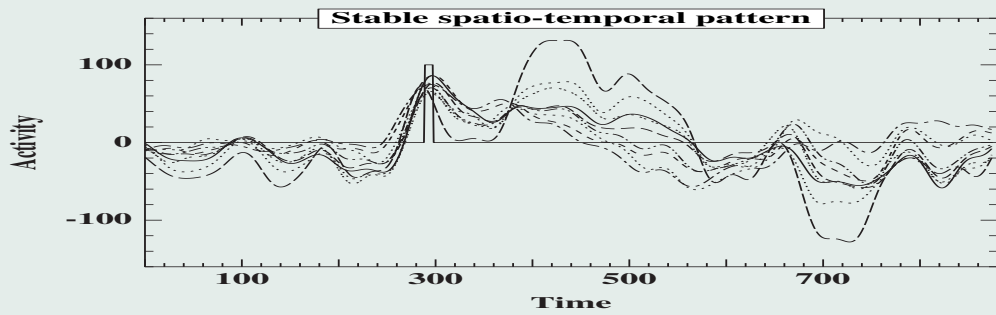
$$C_P = \text{average of } \{C_j(t), t \in I, d_w(i, j) < r\}$$

Action

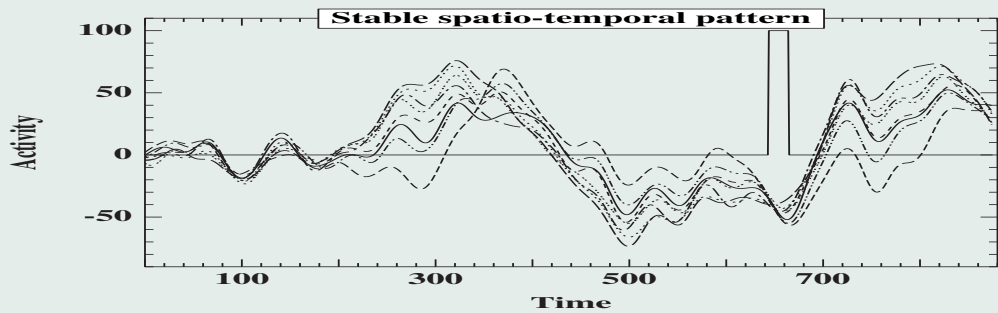
$$C_j(t) = (1 - \alpha)C_j(t) + \alpha C_P \times \exp(-d(t, I) - d(i, j))$$



Experimentations MEG



Experimentations MEG

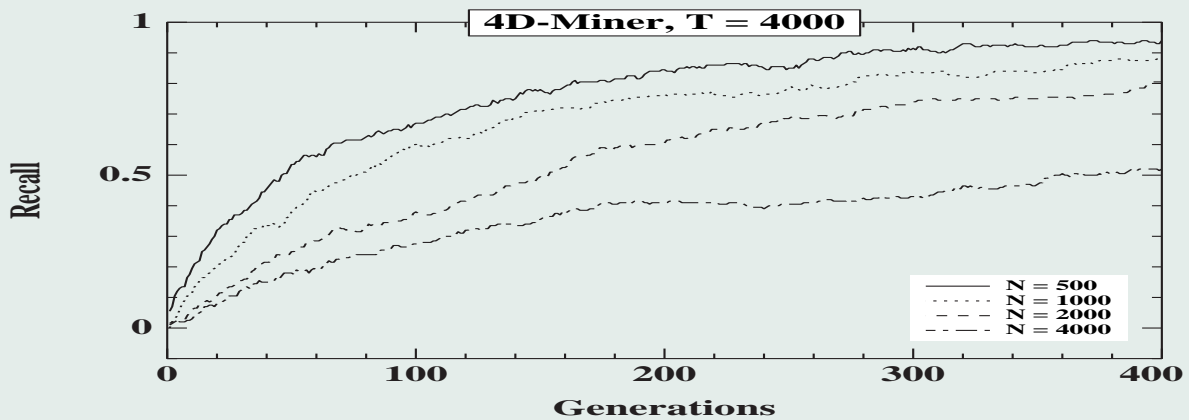


Performances

Recall : percentage of target patterns with representants in the archive.

N	T			
	1,000	2,000	4,000	8,000
500	98 ± 5	93 ± 9	92 ± 7	79 ± 16
1000	96 ± 6	96 ± 6	82 ± 14	67 ± 12
2000	96 ± 5	87 ± 12	72 ± 14	49 ± 15
4000	89 ± 10	81 ± 13	56 ± 14	32 ± 16

Online Performance



Discussion

Convergence

Elagage

Stage DEA Grammaire

BCI